

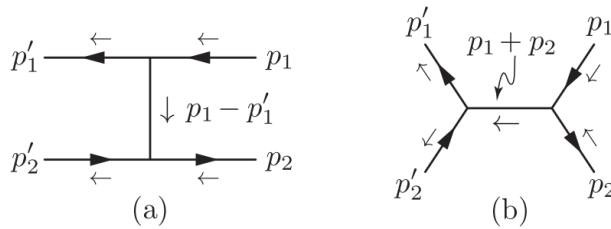
# Lecture 11. 散射理论 I：Mandelstam变量，CPT和相空间

## 11.1 核子-反核子散射

给出：

$$2.6 \quad N + \bar{N} \rightarrow N + \bar{N}$$

对这个反应，我们有两个费曼图如下。



于是有不变振幅：

$$i\mathcal{A}_{fi} = (-ig)^2 \left[ \frac{i}{(p_1 - p_1')^2 - \mu^2 + i\epsilon} + \frac{i}{(p_1 + p_2)^2 - \mu^2 + i\epsilon} \right]$$

这里面的第一项和非相对论理论Born近似汤川势一样，但是第二项则不一样，分母里面是 $p_1 + p_2$ ，在中心系中，我们有：

$$p_1 + p_2 = (p_1^0 + p_2^0, \mathbf{p}_1 + \mathbf{p}_2) = (E_T, 0)$$

这样，分母就是 $E_T^2 - \mu^2$ 分母为0的根位于 $E_T = \pm\mu$ ，由于我们规定 $\mu < 2m$ ，所以不用担心分母为0的情况。但是，如果我们对其做partial-wave分析，我们会发现极点位于s-wave振幅。

那么，在非相对论微扰论中，我们有遇到类似的极点吗？是的，我们在二阶近似中遇到过，让我们写下二阶近似式：

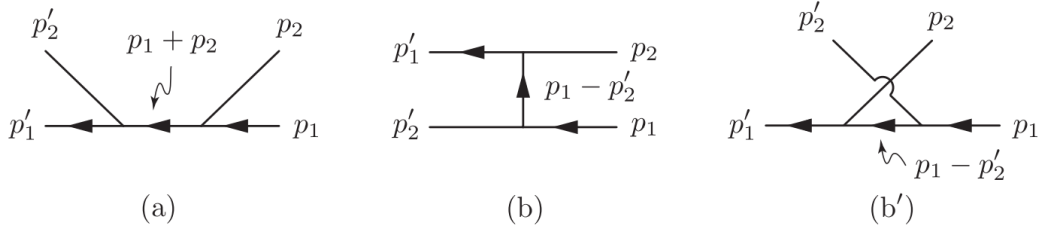
$$\mathcal{A}_{fi} \propto \langle f|V|i\rangle + \sum_n \frac{\langle f|V|n\rangle \langle n|V|i\rangle}{E_n - E_i}$$

其中 $E_n$ 来自一组本征能量集合。如果在无微扰情况下存在一个孤立本征态 $|n\rangle$ 使得本征值 $E_{\mathbf{p}} = E_i = E_n$ ，那么我们会得到一个极点。

## 11.2 核子-介子散射和介子对产生

$$2.7 \quad N + \phi \rightarrow N + \phi$$

下面是对应的费曼图。



不变振幅：

$$i\mathcal{A}_{fi} = (-ig)^2 \left[ \frac{i}{(p_1 + p_2)^2 - m^2 + i\epsilon} + \frac{i}{(p_1 - p_2')^2 - m^2 + i\epsilon} \right]$$

再一次，我们设：

$$\mathbf{p}_1 = -\mathbf{p}_2 = \mathbf{ep} \text{ where } p = |\mathbf{p}_1| = |\mathbf{p}_2|$$

那么，四动量就是：

$$\begin{aligned} p_1 &= (\sqrt{p^2 + m^2}, \mathbf{ep}) \\ p_2 &= (\sqrt{p^2 + \mu^2}, -\mathbf{ep}) \\ p_1' &= (\sqrt{p^2 + m^2}, \mathbf{e}'p) \\ p_2' &= (\sqrt{p^2 + \mu^2}, -\mathbf{e}'p) \end{aligned}$$

于是：

$$\begin{aligned} (p_1 - p_2')^2 &= (\sqrt{p^2 + m^2} - \sqrt{p^2 + \mu^2})^2 - 2p^2(1 + \cos\theta) - m^2 \\ &= (\sqrt{p^2 + m^2} - \sqrt{p^2 + \mu^2})^2 - \Delta_c^2 - m^2 \end{aligned}$$

这里 $\Delta$ 的定义和之前一样。不一样的是，这一次能量项并没有相消，所以势会更复杂一点，在核子-核子反应中，我们有：

$$\begin{aligned} (\text{exchange amplitude}) &\propto \frac{1}{\Delta_c^2 + \mu^2} \Rightarrow V(r) \propto \frac{e^{-\mu r}}{r} \\ \Rightarrow (\text{exchange amplitude}) &\propto \frac{1}{\Delta_c^2 + (1/R)^2} \Rightarrow V(r) \propto \frac{e^{-r/R}}{r} \end{aligned}$$

这里， $\mu$ 变成了一个范围参数， $R$ 。而在核子-介子散射中：

$$(\text{exchange amplitude}) \propto \frac{1}{\Delta_c^2 + m^2 - (\sqrt{p^2 + m^2} - \sqrt{p^2 + \mu^2})^2}$$

这时候我们定义的范围参数就起作用了，考虑：

$$\lim_{p^2 \rightarrow \infty} R^{-2} = \lim_{p^2 \rightarrow \infty} [m^2 - (\sqrt{p^2 + m^2} - \sqrt{p^2 + \mu^2})^2] = m^2$$

这时候两个粒子的质量差被忽略，势能恢复普通的汤川势。而另一个极端下：

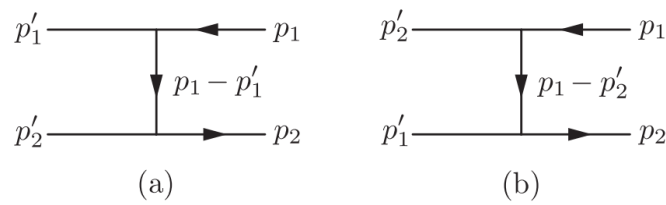
$$\lim_{p^2 \rightarrow 0} R^{-2} = \lim_{p^2 \rightarrow 0} [m^2 - (\sqrt{p^2 + m^2} - \sqrt{p^2 + \mu^2})^2] = 2m\mu - \mu^2$$

因此，我们有了一个交换势，这是非相对论理论所没有的。如果我们考虑自旋和同位旋，那么它就非常接近现实中的物理了。

接着我们有：

$$2.8 \quad \bar{N} + N \rightarrow \phi + \phi$$

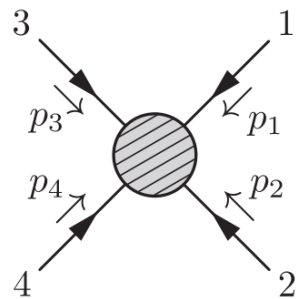
对应的费曼图如下。



### 11.3 Crossing对称性和CPT不变性

我们已经看到了在最低阶微扰论中的三种现象，并在非相对论理论中找到了它们的对应，分别是：direct汤川势，exchange汤川势能，和能量本征态极点。虽然这在相对论理论中没有什么新奇的，但是新奇的是这三个现象实际上是一个东西，我将其称为“crossing”，也可以称为crossing对称性，不过这个对称不是我们先前讨论的那种对称。

要介绍crossing，我得先介绍一个更一般的场论。考虑我们有一个包含四种不同粒子的场论。它们之间具有各种三线性(trilinear)相互作用，形成各种Born近似图。我要介绍一个包含每种粒子各一个的更一般的图，我不知道里面发生了什么，也不想得到具体的过程，所以我画了一个●，得到下图。



crossing图

从右往左读，这个图对应反应：

$$1 + 2 = \bar{3} + \bar{4}$$

由能动量守恒：

$$p_1 + p_2 + p_3 + p_4 = 0$$

实际上，如果我们通过判断 $p_r^0$ 的正负来判断入射和出射，那么这个图就可以用来表述一系列反应。然后，我们需要一系列运动学变量来描述这个系统。依据能动量守恒，我们需要3个变量，如果反应式给定，那我们只需要两个：中心能和散射角；在这里，我们引入：

$$s = (p_1 + p_2)^2 = (p_3 + p_4)^2$$

$$t = (p_1 + p_3)^2 = (p_2 + p_4)^2$$

$$u = (p_1 + p_4)^2 = (p_2 + p_3)^2$$

这三个变量中任意两个组合都可以作为相对论不变量的完备基，任何相对性不变量都可以表为它们的组合。假如我们考虑 $1 + 3 \rightarrow \bar{2} + \bar{4}$ ，也就是，一个t反应，那么t就代表中心系能量，s和u代表动量传递。s, t, u被称为Mandelstam不变量。

由于这三个不变量中只有两个是独立的，所以我们可以由其中两个推出剩下一个：

$$\begin{aligned} s + t + u &= (p_1 + p_2)^2 + (p_3 + p_4)^2 + (p_1 + p_3)^2 + (p_2 + p_4)^2 + (p_1 + p_4)^2 + (p_2 + p_3)^2 \\ &= 3 \sum_i p_i \cdot p_i + 2 \sum_{i>j} p_i \cdot p_j \\ &= 3 \sum_i m_i^2 + 2 \sum_{i>j} p_i \cdot p_j \end{aligned}$$

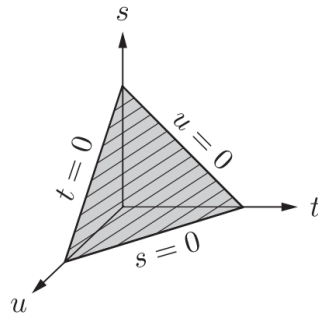
注意到：

$$0 = \left( \sum_i p_i \right)^2 = \sum_i p_i \cdot p_i + 2 \sum_{i>j} p_i \cdot p_j = \sum_i m_i^2 + 2 \sum_{i>j} p_i \cdot p_j$$

所以有：

$$s + t + u = \sum_i m_i^2$$

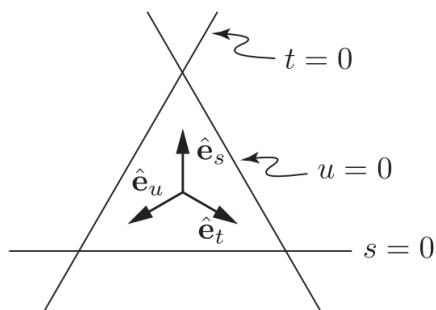
实际上，我们可以直观地用图来表示这个关系。



Mandelstam平面

定义这个位于平面的三个基矢为 $\hat{\mathbf{e}}_s$ 、 $\hat{\mathbf{e}}_t$ 、 $\hat{\mathbf{e}}_u$ ，我们有：

$$\hat{\mathbf{e}}_s + \hat{\mathbf{e}}_t + \hat{\mathbf{e}}_u = 0$$



Mandelstam平面与基矢

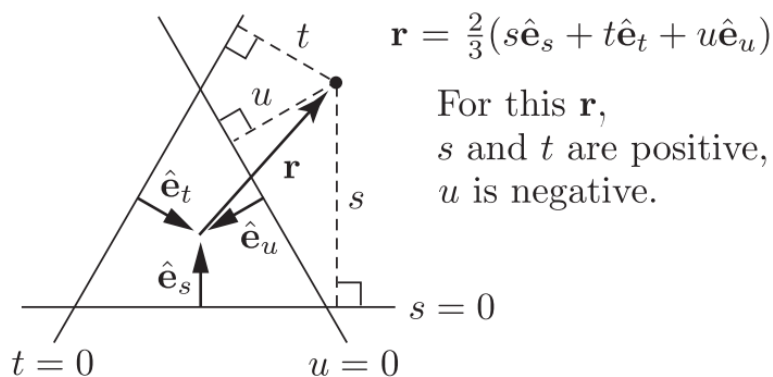
那么一个从中心指向 $(s, t, u)$ 点的向量可以被写为:

$$\mathbf{r} = \frac{2}{3}(s\hat{\mathbf{e}}_s + t\hat{\mathbf{e}}_t + u\hat{\mathbf{e}}_u)$$

反过来, 我们有:

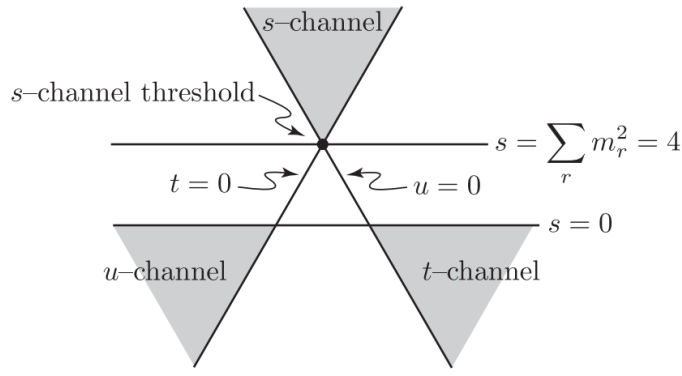
$$s = \mathbf{r} \cdot \hat{\mathbf{e}}_s + \frac{1}{3} \sum_i m_i^2$$

进一步, 可以通过做垂线来直接得到 $s, t, u$ 。



Mandelstam平面与基矢

这个图在2-2反应和三粒子衰变中都很重要。在三粒子衰变中, 我们会有Dalitz图, 而现在, 我们讨论的是Mandelstam-Kibble图。注意到, 不是M-K图中的每一点都对应实际的物理过程, 我们将其画在下面的图中。



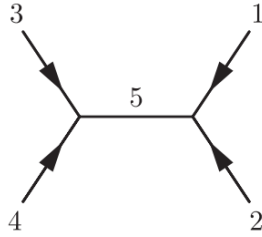
M-K图

中心系中， $p_1 + p_2 = (E - 1 + E_2, \mathbf{0})$ ，对应s-反应的区域可以被表为：

$$s = (p_1 + p_2)^2 = (E_1 + E_2)^2 \geq (m_1 + m_2)^2 = 4$$

s-反应中s的最小值为4，而t和u分别对应之前的 $-\Delta^2$ 和 $-\Delta_c^2$ ，最大值为0。这种研究散射的方法的好处是，所有变量都是对称的，所以我们只需要做一次，而不是三次。随着质量的改变，图会相应的扭曲，并在高能时趋近于等质量图，但阴影区域永远不会重叠。

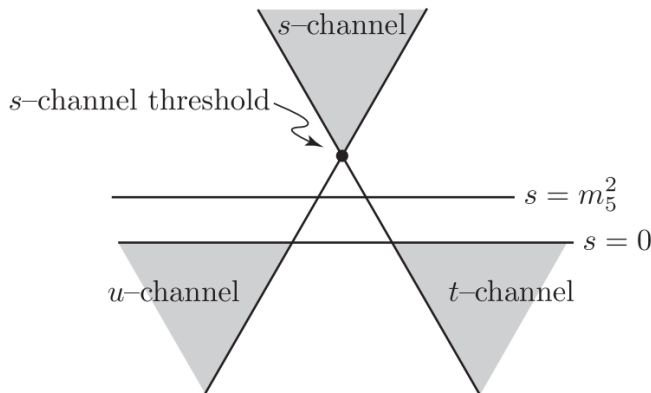
特别地，让我们考虑一个有第五种粒子的情况，如下图。



从右往左读，我们得到一个s-反应，给我们一个项：

$$\frac{1}{(p_1 + p_2)^2 - m_5^2} = \frac{1}{s - m_5^2}$$

这是一个meromorphic函数，极点最好位于1-2临界之下。遗憾的是，把这涉及两个变量，所以我不能简单地把它画出来，有示意图如下。



综上所述，我们先前讨论的三种现象：汤川势，交换势和极点，都是一个meromorphic函数的三个方面。实际上，这种方法也可以被用于高阶扰动。这些现象，看似彼此分离，实际上却通过解析延拓

(analytic continuation)的方法连接在一起。

一般来说，对于任何洛伦兹不变相互作用，对于所有微扰理论，如果我取所有四维动量并改变它们的符号，振幅不会改变。这种不变性被称为CPT对称性。在改变符号的过程中，所有入射粒子都变成了出射反粒子，对所有阶都成立，这就是CPT定理。

CPT定理告诉我们，C对称性可以破缺，P对称性可以破缺，T对称性可以破缺，我们可以写下许多例子。但是，只要这个世界是洛伦兹不变的，那么CPT对称性就永远不会破缺。

让我们用例子进一步说明这一点，给出一个s-反应：

$$1 + 2 \rightarrow \bar{3} + \bar{4}$$

振幅可以写为：

$$\mathcal{A}_{fi} = \mathcal{A}(p_1, p_2, -p_3, -p_4)$$

首先，我们作用C宇称，得到 $\mathcal{A}_{fi}^C$ ：

$$C : 1 + 2 \rightarrow \bar{3} + \bar{4} \longrightarrow \bar{1} + \bar{2} \rightarrow 3 + 4$$

现在作用TP宇称：

$$TP : 1 + 2 \rightarrow \bar{3} + \bar{4} \longrightarrow 3 + 4 \rightarrow \bar{1} + \bar{2}$$

$T$ 改变的时间的流向，而 $P$ 纠正了速度的方向，综上，我们有：

$$\mathcal{A}_{fi}^{TPC} = \mathcal{A}(-p_1, -p_2, p_3, p_4)$$

于是：

$$\mathcal{A}_{fi} = \mathcal{A}_{fi}^{TPC}$$

如果我们在实验中发现CPT对称性破缺，这不会像是Wu-Ambler发现downfall of parity，不像Fitch-Cronin在 $K^0$ 中发现CP破缺。那只会让我们说：这意味着这不是一个CP守恒的理论，这不会是一场革命。但如果我们发现CPT对称破缺，那意味着所有理论都崩塌了，我们必须重新开始，那将是一场革命。

## 11.4 相空间和S矩阵

讲了这么多抽象概念和漂亮的公式，是时候做点脏活了。现在我们可以求出所有 $S$ 矩阵元，除了不知道如何把它们和散射联系在一起，后者是实验能够测得的量。本节，我们将从 $S$ 矩阵元推导出散射截面 $d\sigma/d\Omega$ 。

这是一个纯粹运动学问题，有两种方法。一种是非常小心地考虑一个实验室系中的相对散射波包，但是这会花很长时间。所以，我们会采取第二种方法，把所有东西放在盒子里，计算盒中的散射振幅，再让盒子变成无穷大。考虑一个特征长度 $L$ 的盒子，我们有：

$$\mathbf{p} = \frac{2\pi}{L}(n_x, n_y, n_z)$$

我们给出本征态的正交归一化关系：

$$\langle \mathbf{p} | \mathbf{p}' \rangle = \delta_{\mathbf{p}\mathbf{p}'}$$

同样有：

$$[a_{\mathbf{p}}, a_{\mathbf{p}'}^\dagger] = \delta_{\mathbf{p}\mathbf{p}'}$$

于是，自由场变为：

$$\phi(x) = \sum_{\mathbf{p}} \frac{1}{\sqrt{V}} \frac{1}{\sqrt{2E_{\mathbf{p}}}} (a_{\mathbf{p}} e^{-ip \cdot x} + a_{\mathbf{p}}^\dagger e^{ip \cdot x})$$

我们给出跃迁概率：

$$(\text{transition probability}) = |\langle f | S - 1 | i \rangle|^2$$

考虑单粒子初始状态：

$$|i\rangle = |\mathbf{p}\rangle$$

如果我们要研究衰变过程，计算粒子寿命，那单粒子初态会很合适。如果我们想要考虑散射，那么我们就需要2粒子初态，归一化有：

$$|i\rangle = \sqrt{V} |\mathbf{p}_1, \mathbf{p}_2\rangle$$

现在开始计算，我们会得到：

$$\langle f | S - 1 | i \rangle = i \mathcal{A}_{fi}^{VT} (2\pi)^4 \delta_{VT}^{(4)}(p_f - p_i) \prod_{\text{final}} \left[ \frac{1}{\sqrt{2E_{\mathbf{p}_f}}} \frac{1}{\sqrt{V}} \right] \prod \left[ \frac{1}{\sqrt{2E_{\mathbf{p}_i}}} \right] \frac{1}{\sqrt{V}}$$

我们也得到了一个不变振幅，但是是求和而不是积分，于是我们有：

$$\lim_{V, T \rightarrow \infty} \mathcal{A}_{fi}^{VT} = \mathcal{A}_{fi}$$

跃迁振幅的前三项看上去像是相对论化的，但实际上不是，因为态 $|\mathbf{p}\rangle$ 没有被合适的正规化，我们有：

$$\langle 0 | \psi(x) | \mathbf{p} \rangle = \frac{1}{\sqrt{2E_{\mathbf{p}}}} \frac{1}{\sqrt{V}} e^{-ip \cdot x}$$

我们要把能量因子和 $\sqrt{V}$ 作用到所有产生湮灭算符上，然后把 $\frac{1}{\sqrt{2E_{\mathbf{p}}}} \frac{1}{\sqrt{V}}$ 乘上所有初态和末态。如果我们有两个粒子，就会有 $(\frac{1}{\sqrt{V}})^2$ ，所以需要乘上一个 $\sqrt{V}$ 来抵消掉它。

接着，我们考虑 $\delta_{VT}$ ，写下其显式表达式：

$$(2\pi)^4 \delta_{VT}^{(4)}(p) \equiv \int_V d^3 \mathbf{x} \int_{-T/2}^{T/2} dt f(t) e^{ip \cdot x}$$

我们看到，当VT趋于无穷，上式变为：

$$\lim_{V, T \rightarrow \infty} \int_V d^3 \mathbf{x} \int_{-T/2}^{T/2} dt f(t) e^{ip \cdot x} = \int d^4 x e^{ip \cdot x} = (2\pi)^4 \delta^{(4)}(p)$$



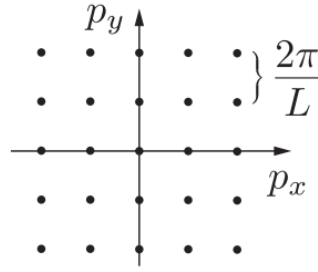
但是，我们要考虑的是它的平方，通过Parseval定理，我们有：

$$\begin{aligned}\int \frac{d^4 p}{(2\pi)^4} |(2\pi)^4 \delta_{VT}^{(4)}(p)|^2 &= \int_V d^3 \mathbf{x} \left[ \int_V d^3 \mathbf{x}' \int \frac{d^3 \mathbf{p}}{(2\pi)^3} e^{-i\mathbf{p} \cdot (\mathbf{x} - \mathbf{x}')} \right] \int \frac{d\omega_{\mathbf{p}}}{2\pi} \left| \int_{-T/2}^{T/2} dt e^{i\omega_{\mathbf{p}} t} f(t) \right|^2 \\ &= \int_V d^3 \mathbf{x} \int_V d^3 \mathbf{x}' \delta^{(3)}(\mathbf{x} - \mathbf{x}') \int \frac{d\omega_{\mathbf{p}}}{2\pi} |\tilde{f}(\omega_{\mathbf{p}})|^2 \\ &= \int_V d^3 \mathbf{x} \int dt |f(t)|^2 = VT\end{aligned}$$

因此我们得到：

$$\lim_{V, T \rightarrow \infty} [(2\pi)^4 \delta_{VT}^{(4)}(p)]^2 = (2\pi)^4 VT \delta^{(4)}(p)$$

现在在我们求极限之前还有最后一件事，那就是 $\delta^2$ 的 $VT$ 系数，这个系数使时空趋于无穷时事情变得很蠢。这个问题是因为本质上我们是在对相空间中的小点进行求和。



态密度

实际上，我们有态密度：

$$\left( \frac{n_x n_y n_z}{p_x p_y p_z} \right) d^3 \mathbf{p} = \left( \frac{L}{2\pi} \right)^3 d^3 \mathbf{p} = \frac{V d^3 \mathbf{p}}{(2\pi)^3}$$

所有，我们实际上要求的是微分跃迁概率：

$$\left( \begin{array}{c} \text{differential transition} \\ \text{probability} \end{array} \right) = \left( \begin{array}{c} \text{transition} \\ \text{probability} \end{array} \right) \times \prod_{\text{final}} \frac{V d^3 \mathbf{p}_f}{(2\pi)^3}$$

我们不想计算总的跃迁概率，而是跃迁到一个小相空间范围内态的概率。现在，我们把所有因子乘起来，得到：

$$\begin{aligned}\left( \begin{array}{c} \text{diff. transition} \\ \text{probability} \end{array} \right) &= |\langle f | S - 1 | i \rangle|^2 \times \prod_{\text{final}} \frac{V d^3 \mathbf{p}_f}{(2\pi)^3} \\ &= |\mathcal{A}_{fi}^{VT}|^2 (2\pi)^4 VT \delta^{(4)}(p_f - p_i) \left[ \prod_{\text{final}} \frac{1}{2E_f} \frac{1}{V} \frac{V d^3 \mathbf{p}_f}{(2\pi)^3} \right] \left[ \prod_{\text{initial}} \left( \frac{1}{2E_i} \right) \right] \frac{1}{V}\end{aligned}$$

Ta-daa!我们发现所有 $V$ 都相互消除了，但等等，我们不是还有 $T$ 吗？好吧，让我们再做一次除法，于是我们得到：

$$\left( \begin{array}{c} \text{diff transition} \\ \text{probability} \\ \text{per unit time} \end{array} \right) = (2\pi)^4 \delta^{(4)}(p_f - p_i) |\mathcal{A}_{fi}|^2 \prod_{\text{final}} \frac{d^3 \mathbf{p}_f}{(2\pi)^3 2E_f} \prod_{\text{initial}} \frac{1}{2E_i}$$

这就是我们最终得到的微分散射截面，有时被写为下式：

$$\frac{\text{diff.trans.prob}}{\text{unit time}} = |\mathcal{A}_{fi}|^2 D \prod_{\text{initial}} \frac{1}{2E_i}$$

其中：

$$D = (2\pi)^4 \delta^{(4)}(p_f - p_i) \prod_{\text{final}} \frac{d^3 \mathbf{p}_f}{(2\pi)^3 2E_f}$$

下一节中将用这些公式来计算衰变、散射等过程。由于是下节主要讲应用问题，故跳过。